



การประชุมวิชาการนวัตกรรมด้านวิศวกรรมและเทคโนโลยีเพื่อเศรษฐกิจและสังคม ครั้งที่ 3  
 The 3<sup>rd</sup> Conference on Innovation Engineering and Technology for Economy and Society  
 วันที่ 29 มีนาคม 2563 ณ มหาวิทยาลัยเกษตรศาสตร์ วิทยาเขตร่มเกล้า

## อิทธิพลของระยะพ่นต่อโครงสร้างจุลภาคและสมบัติเชิงกลของผิวเคลือบ 13% Cr Effect of Spray Distance on Mechanical Property of 13% Chrome Coating

กนกพงศ์ ชูสกุล<sup>1</sup> บรรพต วรรณพยัญญ<sup>1</sup> และ ชนิตพล ฝ่าพิมาย<sup>1</sup> ชานนท์ มูลวรรณ<sup>2</sup> ชัยพล ผ่องพลีศาล<sup>2</sup>

<sup>1</sup>สาขาวิชาวิศวกรรมอุตสาหการ คณะวิชาวิศวกรรมศาสตร์ มหาวิทยาลัยเกษตรศาสตร์

Kanokpong Chusakul<sup>1</sup>, Banpot Wannaphayan<sup>1</sup>, Chanitpol Faphimai<sup>1</sup>, Chanont moolwan<sup>2</sup>  
 and Chaipol Pongpleesan<sup>2</sup>

<sup>1</sup>Department of Industrial Engineering, Faculty of Engineering, Kasem Bundit University

E-mail: kanokpong.bio@gmil.com<sup>1</sup>, taochanitpol@gmail.com<sup>2,\*</sup>

### บทคัดย่อ

งานวิจัยนี้เป็นการศึกษาระยะพ่นที่มีผลต่อสมบัติเชิงกลด้านความแข็งของผิวเคลือบ จากกระบวนการพ่นแบบอาร์คสเปรย์ การพ่นใช้ลดพ่น 13% โครเมียม ซึ่งมีส่วนผสมดังนี้ ธาตุโครเมียม 13% ซิลิโคน 1% และ แมงกานีส 1% ระยะพ่นใช้ 3 ระยะ ได้แก่ 10 นิ้ว 14 นิ้ว และ 18 นิ้ว ตามลำดับ เนื่องจากกระบวนการพ่นใช้กระแสไฟฟ้า 175 แอมป์เรีย แรงดันไฟฟ้า 36 โวลต์ ความดันอากาศ 5 บาร์ หลังจากการพ่นตรวจสอบโครงสร้างจุลภาคของผิวเคลือบทั้ง 3 ระยะการพ่น พบร้า ผิวเคลือบประกอบด้วยแผ่นแนบช้อนทับกันเป็น ชั้น ๆ ซึ่งเป็น เฟสของโครเมียมออกไซด์ ( $\text{CrO}$ ) มีรูพรุน ออกไซด์ และอนุภาคที่ไม่หลอม ปริมาณรูพรุนของระยะพ่น 10 นิ้ว และ 18 นิ้ว มีค่าใกล้เคียงกัน มีค่าเฉลี่ยรูพรุนเท่ากับ 4.7% แต่ระยะพ่น 14 นิ้ว มีปริมาณรูพรุนเท่ากับ 13.4 % ความแข็งของผิวเคลือบ ทั้ง 3 ระยะการพ่น มีค่าเฉลี่ย 296 HV จะเห็นว่า ระยะพ่นในช่วง 10-18 นิ้ว ไม่มีผลต่อความแข็งของผิวเคลือบ

**คำสำคัญ:** การพ่นแบบอาร์คสเปรย์ ผิวเคลือบ โครเมียมออกไซด์

### Abstract

This research is a study of spray distance that affects the mechanical properties of the hardness of the coating from the arc spray process. Spraying uses 13% chromium wire which has the following ingredients: 13% chromium, 1% silicon and manganese 196. Spraying distance is used in 3 stages which are 10 inches, 14 inches and 18 inches respectively. Spraying conditions are using 175 amperes, 36 volts of current and 5 bar of air pressure. After spraying the microstructure of all 3 coating phases, the coating was found to consist of flat, overlapping layers of chromium oxide ( $\text{CrO}$ ), porous oxides and non-melting particles. The pore volume of the spraying range of 10 inches and 18 inches are approximately the same. The porosity average of 4.7%, but the distance of 14 inches, the amount of pore is 13.4%. The hardness of all 3 coating phases has an average of 296 HV. It can be seen that the 10 – 18 inch range does not affect the hardness of the coating.

**Keywords:** Arc spray process, the coating, Chromium oxide

### 1. บทนำ

การทำงานของเครื่องจักรกล เมื่อมีการใช้ใบนาน ๆ มักมีการสึกหรอ และการกัดกร่อนในสภาพแวดล้อมที่ซับซ้อนเนื่องจากขั้นส่วนของเครื่องจักรกลมีการเคลื่อนที่ หรือเสียดสี

กัน เช่นเพลาเครื่องจักร หม้อบด การสึกหรอของชิ้นงานทำให้ต้องเปลี่ยนชิ้นส่วนใหม่ ต้นทุนการผลิตจะสูงขึ้น การซ่อมแซมชิ้นส่วนที่มีการสึกหรอเป็นทางเลือกที่ดีในการทำให้ชิ้นงานกลับมาใช้งานได้อีกรั้ง กระบวนการพ่นเคลือบด้วย



การประชุมวิชาการนวัตกรรมด้านวิศวกรรมและเทคโนโลยีเพื่อเศรษฐกิจและสังคม ครั้งที่ 3  
The 3<sup>rd</sup> Conference on Innovation Engineering and Technology for Economy and Society  
วันที่ 29 มีนาคม 2563 ณ มหาวิทยาลัยเกษตรศาสตร์ วิทยาเขตร่มเกล้า

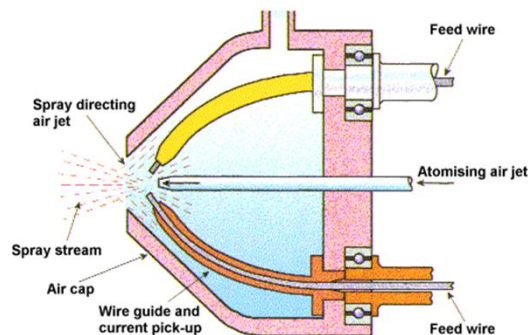
เพลวความร้อนเป็นเทคโนโลยีที่ใช้ช่องแค้นส่วนที่มีการสักหร่องมีการใช้งานกันอย่างแพร่หลายทั่วโลก เนื่องจากมีความสะดวกและราคาในการพ่นเคลือบไม่สูงมาก [1] การพ่นเคลือบด้วยเพลวความร้อนมีหลายกระบวนการ เช่น การพ่นเคลือบด้วยเพลวพลาสม่า (plasma spray) การพ่นเคลือบด้วยเพลวเชิงความเร็วสูง (high velocity oxy fuel) การพ่นเคลือบด้วยการจุดระเบิด (detonation gun) และการพ่นแบบอาร์คสเปรย์ (electric arc spraying) เป็นต้น การพ่นเคลือบแบบอาร์คสเปรย์ เป็นวิธีที่ไม่แพงเมื่อเทียบกับการพ่นเคลือบแบบอื่น ๆ ในกระบวนการนี้การอาร์คไฟฟ้าเกิดขึ้นระหว่างลวดสองเส้นที่เป็นอิเล็กโทรด ความร้อนที่เกิดจากอาร์คนี้จะหลอมละลายลวดและถูกดันไปตกกระทบบนชิ้นงานโดยเป็นผิวเคลือบ [2] แต่การเคลือบด้วยอาร์คสเปรย์มักพบว่าโครงสร้างจุลภาคของ lamellar มีการปรากฏตัวของรูพรุน, ออกไซด์, รอยแตกระหว่าง interlamellar, อนุภาคน้ำนมและไม่น้ำนม ทำให้เห็นว่าคุณภาพของการเคลือบผิวได้รับผลกระทบสูงจากค่าพารามิเตอร์ เช่นความดันอากาศ ระยะทางสเปรย์ อัตราการป้อนลวด ความเร็วและความหนืดของอนุภาคน้ำนม สำคัญในการสร้างเคลือบผิวและระยะทางสเปรย์เป็นปัจจัยหลักที่มีผลต่อคุณภาพของการเคลือบผิว [4] ทั้งนี้ผิวเคลือบโลหะผสมเหล็กโครเมียมที่มีจำนวนเปอร์เซ็นต์ระหว่าง 9 – 12 % ได้รับความสนใจเป็นอย่างมาก และถูกใช้ในการป้องกันการเกิดออกซิเดชันที่อุณหภูมิสูงซึ่งทนทานการสึกหรอยัดได้ [3] และผิวเคลือบโลหะผสมของเหล็กกล้าโครเมียมจะช่วยลดสัมประสิทธิ์ความเสียดทาน ระหว่างผิวสัมผัสกับชิ้นงานได้ดีเมื่อเปรียบเทียบกับผิวเคลือบเหล็กกล้าทั่วไป [5] โดยโครงงานวิจัยนี้มีวัตถุประสงค์เพื่อหาระยะพื้นที่ให้ผิวเคลือบที่มีสมบัติเชิงกลที่ดีที่สุดเพื่อนำข้อมูลที่ได้มาใบประยุกต์ใช้กับอุตสาหกรรมต่อไป

## 2. ทฤษฎีและงานวิจัยที่เกี่ยวข้อง

### 2.1 ระบบการอาร์คด้วยไฟฟ้า (Electric Arc)

การพ่นแบบอาร์ค เป็นการพ่นโดยใช้แหล่งความร้อนจากการอาร์คด้วยไฟฟ้าระหว่าง 2 ข้อ โดยวัสดุเคลือบต้องอยู่ในรูปของเส้นลวดที่นำไฟฟ้าได้ซึ่งอาจจะเป็นโลหะ โลหะผสม หรือเซรามิก ถ้าวัสดุพ่นเป็นเซรามิกที่ไม่นำไฟฟ้าการผลิตลวดพื้นจะจัดให้อยู่ในรูปของ cored - wire กล่าวคือ เป็น

เส้นลวดที่มีเซรามิกอยู่ด้านใน แล้วห่อหุ้มด้วยโลหะหรือโลหะผสม ซึ่งจะทำให้เกิดการนำไฟฟ้าและเกิดการอาร์คได้กระบวนการพ่นแบบอาร์ค ต่างจากเทคนิคอื่น ๆ ตรงที่ไม่มีแหล่งความร้อนจากภายนอก เช่น เพลวไฟ หรือเพลวพลาสม่า ความร้อนและการหลอมเกิดขึ้นที่วัสดุเคลือบที่มีเส้นลวดเองโดยจะเกิดขึ้นทันทีที่เส้นลวดสองเส้นซึ่งมีประจุตรงข้ามกันมาสัมผัสกันตรงปลายลวดที่ เรียกว่า เกิดการอาร์ค อนุภาคที่หลอมตรงปลายลวดจะถูกผลักดันด้วยแก๊สพลาสติกที่มีความดันสูง ทำให้เกิดการแตกเป็นละอองพร้อมกับเคลื่อนไปที่ชิ้นงาน และเกิดการเย็นตัวและแข็งเกิดเป็นผิวเคลือบบนชิ้นงาน



รูปที่ 1 กระบวนการพ่นอาร์ค [6]

ดังนั้นระยะพื้นเมืองสำคัญมากต่อโครงสร้างจุลภาคของหดของเหลวที่จะมาซ่อนทับกันเป็นผิวเคลือบ โดยเฉพาะระบบพ่นเคลือบด้วยเพลวเชิง ระยะพื้นที่ใกล้เกินไปอนุภาคอาจมีเวลาอยู่ในเพลวเชิงน้อย เกิดการหลอมไม่สมบูรณ์ ทำให้ยึดเกาะกันได้น้อยและไม่ดี ในขณะที่ระยะพื้นที่ไกลเกินไปอนุภาคอาจมีเวลาอยู่ในเพลวความร้อนนานจึงจะเกิดการหลอมได้มาก เมื่อตกรอบอาจเกิดการกระจายตัวมากไปคือ หดของเหลวมีลักษณะแตกกระจายออกทำให้เกิดช่องร่องจำนวนมาก หรือระยะพื้นที่ห่างมาก ๆ อาจเป็นผลให้อนุภาคหลอมมีอุณหภูมิต่ำ ลงมาตามระยะทางที่เคลื่อนที่ห่างจากปลายปืน และอาจเริ่มแข็งตัวก่อนถึงชิ้นงานทำให้เกิดการแตกตัวได้น้อย เป็นผลให้การยึดเกาะกับชิ้นงานไม่ดี ความแข็งแรงของการยึดเกาะต่ำ [7]



การประชุมวิชาการนวัตกรรมด้านวิศวกรรมและเทคโนโลยีเพื่อเศรษฐกิจและสังคม ครั้งที่ 3  
**The 3<sup>rd</sup> Conference on Innovation Engineering and Technology for Economy and Society**  
 วันที่ 29 มีนาคม 2563 ณ มหาวิทยาลัยเกษตรศาสตร์ วิทยาเขตร่มเกล้า

**2.2 โครงสร้างจุลภาคและสมบัติของผิวเคลือบลักษณะ**  
**โครงสร้างทางจุลภาคของการพ่นเคลือบด้วยอาร์คสเปรย์**  
 เกี่ยวข้องกับ รูพรุน รอยแตก ซึ่งผิวเคลือบทั้งหมด  
 ประกอบด้วยรูพรุน, ออกไซด์, รอยแตก, อนุภาคที่หลอมและ  
 ไม่หลอมรวมกัน ซึ่งโดยทั่วไปแล้วอนุภาคที่ฟุ้งออกจากปืน  
 จะมีอนุภาคจำนวนมากที่ไม่ได้รับการเคลือบอนุภาคที่รวมตัว  
 กันใหม่ทำให้รูพรุนที่เข้มต่อกัน อาจส่งผลกระทบต่อความ  
 ต้านทานการสึกหรอและการกัดกร่อนซึ่งทำให้ รูพรุนของ  
 กระบวนการอาร์คสเปรย์ที่ใช้ລວດ 13Cr นั้นมีค่าประมาณ  
 7 % [9]

สมบัติเชิงกล ค่าความแข็งที่ได้จากการกัดแบบวิคเกอร์  
 ของລວດ 13Cr การระบายความร้อนอย่างรวดเร็วของ  
 อนุภาคที่ล่องในอากาศ อนุภาคหลอมเหลวในช่วงระยะเวลา  
 สั้นมาก เมื่อการแข็งตัวเกิดขึ้น ส่งผลกระทบต่อขั้นผิวเคลือบ  
 หรืออนุภาคที่แบบ การระบายความร้อนอย่างรวดเร็วนำไปสู่  
 ขนาดเม็ด Ultrafine (ขนาดประมาณ  $1 \mu\text{m}$ ) พบร่องรอยของ  
 ทรงกลมบางส่วนในการเคลือบมีความแข็งระดับสูงมาก ซึ่งมี  
 ความแข็งเท่ากับ 370 HV [8]

### 2.3 งานวิจัยที่เกี่ยวข้อง

1) R. LAKHDARia ได้ทำการศึกษาการพ่นລວດ 13% Cr  
 แบบวิคเกอร์สเปรย์ โดยใช้ระดับการพ่นที่ 100 mm. กระแส  
 100 A, แรงดันที่ 35 V. และแรงดันลมที่ 3 และ 5 Bar.  
 พบร่องรอยของรูพรุน อนุภาคที่ไม่หลอม รวมทั้งอนุภาคที่หลอม  
 รวมกัน ซึ่งการเย็นตัวลงของอนุภาคนั้น ทำให้การต้านทาน  
 การสึกหรอดีขึ้น แต่ออกไซด์ทำให้แรงยึดเกาะลดลง รูพรุน  
 ทำให้ความต้านทานการสึกหรอให้ลดลง

2) Y. Mebdoua ได้ทำการศึกษาการพ่นเคลือบแบบ  
 Arc Spray โดยใช้漉ดพ่น 13% Cr โดยทดสอบ 3 รูปแบบ  
 คือ E1, E2 และ E3 โดย E1 ใช้ระดับการพ่น 100 mm. E2  
 ใช้ระดับการพ่น 120 mm. และ E3 ระดับการพ่น 140 mm.  
 ตามลำดับ โดยกระแสไฟฟ้า 100A. แรงดันลมที่ 3 และ 5  
 Bar. แรงดันไฟฟ้า 35 V. เท่ากันทุกระยะ ซึ่งระยะทางที่  
 แตกต่างกันทำให้เห็นว่าโครงสร้างทางจุลภาค มีความ  
 แตกต่างกัน เช่น รอยแตก, ออกไซด์, และรูพรุน ระยะการ  
 พ่นส่งผลต่อการยึดเกาะของชั้นผิวเคลือบ รูพรุนเกิดการกัด

กร่อนที่สามารถเชื่อมถึงกันแบบกลบปีวนิก ทั้งนี้การพ่น  
 เคลือบผิวเคลือบสามารถเพิ่มความต้านทานในการกัดกร่อน  
 ได้อย่างมาก

3) หทัยพัฒน์ ค่ายประเสริฐ, ปนัดดา นิรนาทล้าวงศ์  
 ได้ทำการศึกษาการพ่นเคลือบแบบ Arc Spray โดยใช้漉ด  
 พ่นแบบ 316L ใน การพ่นเคลือบ ซึ่งใช้ระยะพ่น 178 mm.  
 กระแสไฟฟ้า 130 A. แรงดันไฟฟ้า 30 V. แรงดันลม 60 Bar  
 พบร่องรอยของรูพรุน รอยแตก ออกไซด์ในผิว  
 เคลือบ และรูพรุนและรอยแตกยังส่งผลกระทบต่อความแข็ง  
 ในการยึดเกาะของผิวเคลือบและยังมีส่วนในการสึกหรอของ  
 ผิวเคลือบด้วยทั้งสิ้น

### 3. วิธีการทดลอง

การเตรียมชิ้นงานสำหรับการพ่นเคลือบด้วยเปลความ  
 ร้อน ชิ้นงานตามขนาด มาตรฐาน โดยทำการตัดให้มีลักษณะ  
 เป็นรูปทรงระบบอกขนาด 50 มิลลิเมตร และยาว 30  
 มิลลิเมตร จำนวน 15 ชิ้น

#### 3.1 การพ่นเคลือบด้วยการอาร์คสเปรย์ (Wire Arc Spray)



รูปที่ 2 การพ่นเคลือบด้วยแบบอาร์คสเปรย์



รูปที่ 3 เครื่องพ่นเคลือบแบบอาร์คสเปรย์ รุ่น TAFA 400



การประชุมวิชาการนวัตกรรมด้านวิศวกรรมและเทคโนโลยีเพื่อเศรษฐกิจและสังคม ครั้งที่ 3  
The 3<sup>rd</sup> Conference on Innovation Engineering and Technology for Economy and Society  
วันที่ 29 มีนาคม 2563 ณ มหาวิทยาลัยเกษตรศาสตร์ วิทยาเขตรัมเกล้า

ก่อนที่จะทำการพ่นเคลือบด้วยวิธีการแบบอาร์คสเปรย์ (Wire Arc Spray) ต้องทำความสะอาดชิ้นงานและทำการพ่นกริตอลาระองพื้น หลังจากนั้นทำการพ่นด้วยлавด 13% Chrome

ตารางที่ 1 ตารางพารามิเตอร์ที่ใช้ในการทดลอง

ลำดับ ที่	พารามิเตอร์	ค่าตาม มาตรฐาน	หน่วย
1	Current	100	(แอมป์)
2	Volt	35	(โวลต์)
3	Spray Distance	10,14,18	นิ้ว
4	Air pressure	5	บาร์

### 3.2 การตรวจสอบโครงสร้างจุลภาค (Micro Structure)

ในการศึกษาวิเคราะห์โครงสร้างของชิ้นงานด้วยกล้องจุลทรรศน์ชนิดแสง ซึ่งถูกพ่นเคลือบด้วยลาวด 13%Chrome และนำไปศึกษาโครงสร้างจุลภาคด้วย SEM และ EDS จากเครื่อง Hitachi Tabletop SEM รุ่น TM3030plus

### 3.3 การทดสอบความแข็ง Micro Vickers Hardness Tester

วัดความแข็งด้วยเครื่อง Micro Vickers Hardness Tester ที่น้ำหนักกด 300 g การตรวจสอบความแข็งชิ้นงานจะด้วยหัวหมุด 6 จุด ตามรูปที่ 5 แล้วหาค่าเฉลี่ย โดยใช้เครื่อง STRUERS DURAMIN AVS DK-2750 micro hardness testing machine

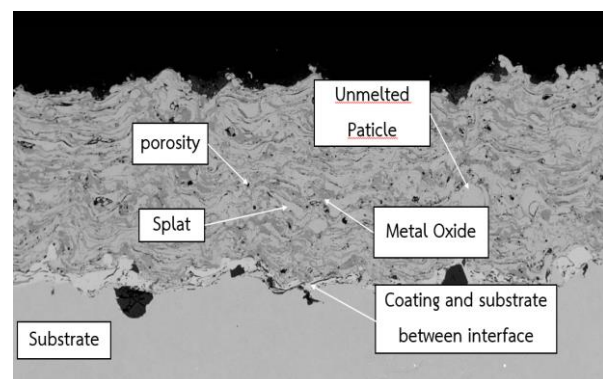
### 3.4 การตรวจสอบความเป็นรูพรุน (Porosity Test)

การทดสอบความเป็นรูพรุนทำโดยการถ่ายภาพพื้นผิวด้วยกล้องจุลทรรศน์แบบแสง หลังจากนั้นนำวิเคราะห์สัดส่วนพื้นที่รูพรุนโดย ด้วยมีการใช้ Computer และโปรแกรม image analysis ในการหาค่าเฉลี่ยพื้นที่รูพรุนของแต่ละชิ้นงาน

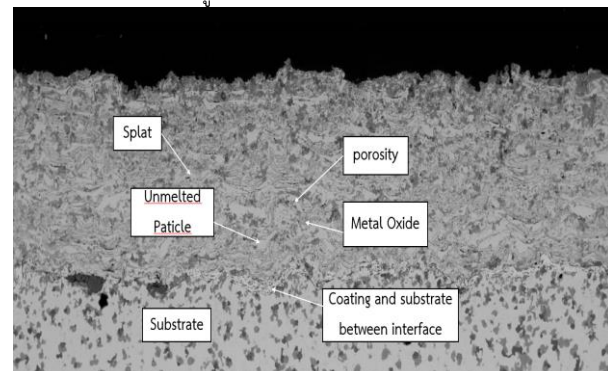
ตารางที่ 2 ส่วนผสม S45C (%) Composition ตารางที่ 1

C	Si	Mn	Ni	Cr	Mo
0.42-0.48	0.15-0.35	0.60-0.90	-	-	-

จากภาพ 4, 5 ,6 การพ่นเคลือบแบบอาร์คสเปรย์โดยใช้ลาวด พื้น 13%Chrome ใน การพ่นลงบนเหล็ก AISI S45C พบว่าจากการพ่นเคลือบด้วยวิธีการอาร์คสเปรย์พบว่าผิวเคลือบทั้ง 3 ระยะการพ่น มีลักษณะโครงสร้างแบบ Lamella ซึ่งมีพื้นที่ดังกล่าวเป็นพื้นที่ที่มีสีดำและสีเทา ซึ่งพื้นที่สีดำนั้นมีลักษณะเช่นเดียวกับรูพรุน และพื้นที่สีเทาเข้ม มีการพบลักษณะของโครงเมียมออกไซด์ (CrO) และโครงสร้างจุลภาคของผิวเคลือบมีลักษณะเป็นແตนบายา มีส่วนผสมทางเคมีที่แตกต่างกัน และมีออกไซด์ รูพรุน อนุภาค ที่ไม่หลอมรวมทั้งอนุภาค ที่หลอมใหม่ อยู่ร่วมกัน [16] ซึ่งสอดคล้องกับผลการตรวจสอบ โปรแกรม EDS พบว่าระดับการพ่นที่ 18 นิ้ว มีค่าเหล็ก(Fe) สูง



รูปที่ 4 ระยะการพ่น 10 นิ้ว

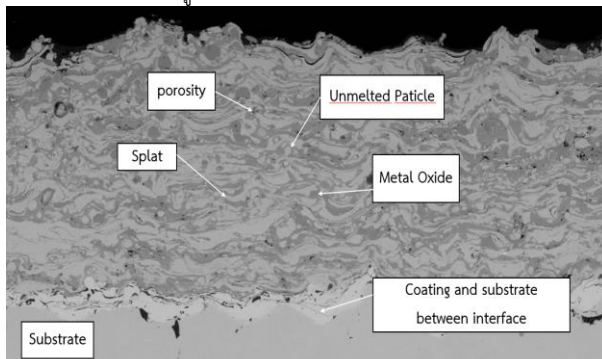


## 4. ผลการทดสอบ



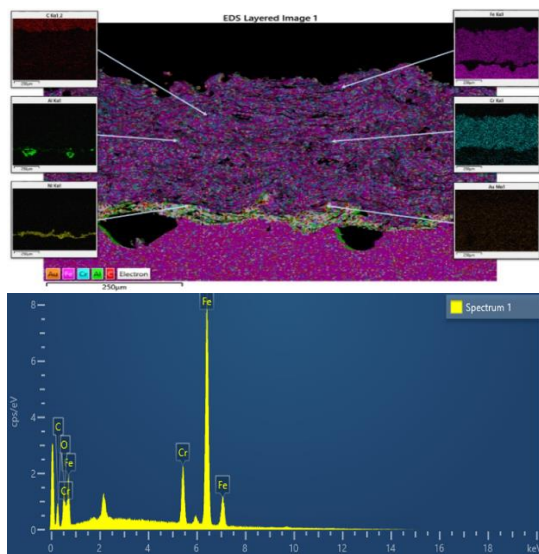
การประชุมวิชาการนวัตกรรมด้านวิศวกรรมและเทคโนโลยีเพื่อเศรษฐกิจและสังคม ครั้งที่ 3  
The 3<sup>rd</sup> Conference on Innovation Engineering and Technology for Economy and Society  
วันที่ 29 มีนาคม 2563 ณ มหาวิทยาลัยเกษตรศาสตร์ วิทยาเขตรัมเกล้า

รูปที่ 5 ระยะการพ่น 14 นิ้ว



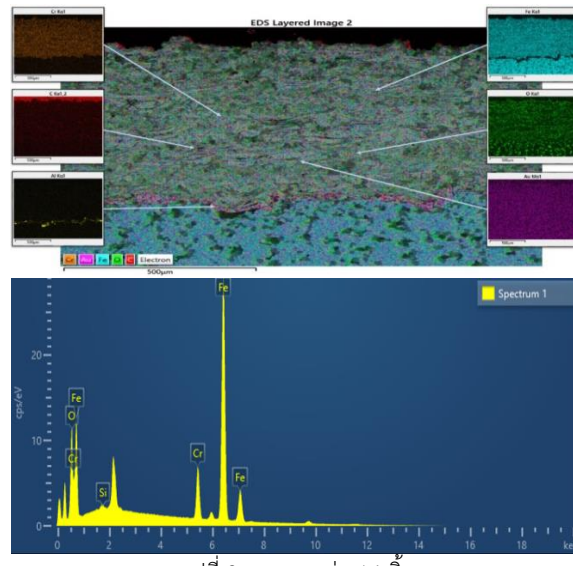
รูปที่ 6 ระยะการพ่น 18 นิ้ว

#### 4.1 ส่วนประกอบทางเคมี



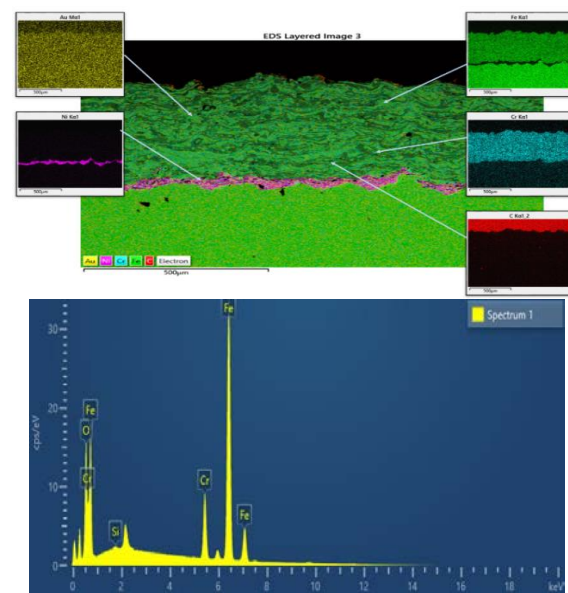
รูปที่ 7 ระยะการพ่น 10 นิ้ว

ดังรูปที่ 7 จากโครงสร้างจุลภาคจะเห็นชั้นผิวเคลือบเป็น layer ซึ่งจะประกอบไปด้วยรูพรุน , ออกไซด์ รอยแตก และอนุภาคที่ไม่หลอม รวมกัน ซึ่งตามภาพเป็นการวิเคราะห์ร้าดูเชิงปริมาณซึ่งประกอบไปด้วย Cr โครเมียม 10.72% O ออกซิเจน 3.86% และ Fe เหล็ก 76.48 %



รูปที่ 8 ระยะการพ่น 14 นิ้ว

ดังรูปที่ 8 จากโครงสร้างจุลภาคจะเห็นชั้นผิวเคลือบเป็น layer ซึ่งจะประกอบไปด้วยรูพรุน , ออกไซด์ รอยแตก และอนุภาคที่ไม่หลอม รวมกัน ซึ่งตามภาพด้านบนเป็นการวิเคราะห์ร้าดูเชิงปริมาณซึ่งประกอบไปด้วย Cr โครเมียม 9.7% O ออกซิเจน 7.6% Si ซิลิโคน 0.1% และ Fe เหล็ก 82.5%



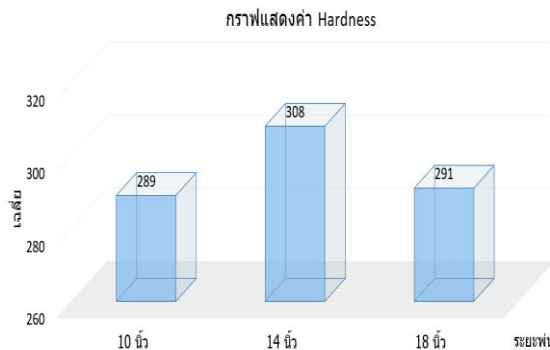
รูปที่ 9 ระยะการพ่น 18 นิ้ว



การประชุมวิชาการนวัตกรรมด้านวิศวกรรมและเทคโนโลยีเพื่อเศรษฐกิจและสังคม ครั้งที่ 3  
**The 3<sup>rd</sup> Conference on Innovation Engineering and Technology for Economy and Society**  
 วันที่ 29 มีนาคม 2563 ณ มหาวิทยาลัยเกษตรศาสตร์ วิทยาเขตร่มเกล้า

ดังรูปที่ 9 จากโครงสร้างจุลภาคจะเห็นขั้นผิวเคลือบเป็น layer ซึ่งจะประกอบไปด้วยรูปrun , ออกไซด์ รอยแตก และอนุภาคที่ไม่หลอม รวมกัน ซึ่งตามภาพด้านบนเป็นการวิเคราะห์รูปแบบของปริมาณซึ่งประกอบไปด้วย Cr โครงเมียม 11.1% O ออกซิเจน 8.3% Si ซิลิกอน 0.1% และ Fe เหล็ก 80.4%

#### 4.2 ผลการทดลองค่าความแข็งจากการทดลอง



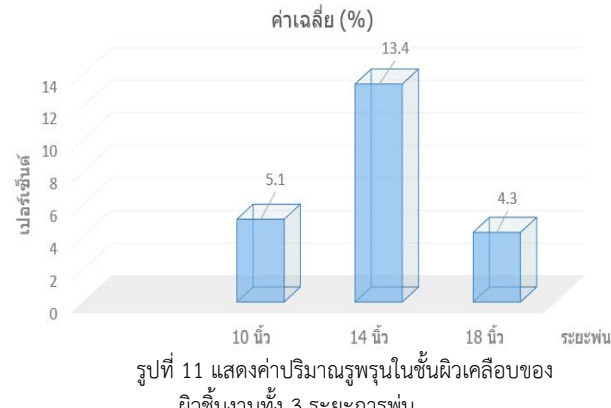
รูปที่ 10 แสดงค่าความแข็งของผิวขั้นงานทั้ง 3 ระยะการพ่น

จากการพ่นเคลือบแบบอาร์คสเปรย์พบว่าความแข็งบริเวณผิวขั้นงานที่ ทั้ง 3 ระยะ มีการแสดงผล ระยะ 10 นิ้ว มีค่าความแข็ง 289 HV ที่ระยะ 14 นิ้ว มีค่าความแข็ง 308 HV ที่ ระยะ 18 นิ้ว มีค่าความแข็ง 291 HV จากผลการวัดความแข็งและเปรียบเทียบแสดงถึงค่าความที่ระยะ 14 นิ้ว มีค่าความแข็งสูงสุด เมื่อเทียบกับอีก 2 ระยะ ซึ่งอนุภาคที่ล่องลอยในอากาศด้วยระยะทางที่สั้นมาก อนุภาคจะเกิดการแข็งตัวอย่างรวดเร็วเนื่องจากอุณหภูมิที่ลดลงอย่างรวดเร็ว เมื่อกระบวนการต่อชั้นงานพบร่วมกับอนุภาคทรงกลมบางส่วนมีความแข็งระดับสูงมากเนื่องจากมีการรวมตัวกัน

#### 4.3 ผลการตรวจสอบปริมาณรูปrun

ผลการตรวจวัดปริมาณรูปrun ในชั้นผิวเคลือบ สามารถดูได้ในรูปที่ 11 ซึ่งจากการตรวจสอบปริมาณรูปrun ที่ระยะต่างๆ มีดังนี้ ระยะการพ่น 10 นิ้ว มีปริมาณ 5 % ระยะการพ่น 14 นิ้ว มีปริมาณ 13.3 % และ ระยะการพ่น 18 นิ้ว มีปริมาณ 4.2 % ซึ่งการทดสอบดังกล่าวพบว่าระยะการพ่นที่ 10 นิ้ว อยู่ในระยะที่สั้น อนุภาคหลอมมีขนาดโต ระยะการพ่นที่ 14 นิ้ว อยู่ในระยะเหมาะสมที่ทำให้อนุภาคที่ไม่หลอมและอนุภาคแฝด (Splat) เกิดการทับถมกันทำให้เกิดซ่องว่าง

หรือรูปrun จำนวนมาก และระยะ 18 นิ้วอยู่ในระยะที่ใกล้อนุภาคที่ไม่หลอมมีขนาดเล็กทำให้เกิดซ่องว่างน้อยหรือปริมาณรูปrunน้อย เท่ากับ 4.2% เมื่อเทียบกับอีก 2 ระยะ ดังนั้นการเปลี่ยนแปลงระยะการพ่นที่ใกล้ขึ้นจะมีปริมาณรูปrun ที่ลดลง ซึ่งสอดคล้องกับงานวิจัยที่รูปrun มีความสัมพันธ์กับความหนาของ Splat ซึ่งเผยแพร่ให้เห็นลักษณะของการกระแทกซึ่งเกี่ยวข้องกับพารามิเตอร์ที่ใช้ในการพ่นที่ควบคุมอนุภาคล่องในอากาศ Y.Mebdoua



รูปที่ 11 แสดงค่าปริมาณรูปrun ในชั้นผิวเคลือบของผิวขั้นงานทั้ง 3 ระยะการพ่น

#### 5. สรุปผล

- โครงสร้างจุลภาคของ 3 ระยะพ่น 10 นิ้ว 14 นิ้ว และ 18 นิ้ว ไม่แตกต่างกัน ประกอบด้วยแผ่นแบบช้อนทับกันเป็นชั้น ๆ ซึ่งเป็นผลของโครงเมียมออกไซด์ ( $\text{CrO}$ ) และเหล็กออกไซด์ ( $\text{FeO}$ ) อนุภาคที่ไม่หลอมแฝด (Splat) ทับถมกันทำให้เกิดซ่องว่างรูปrun และ รอยแตก
- สมบัติเชิงกลด้านความแข็งกับระยะพ่นทั้ง 3 มีค่าเฉลี่ยใกล้เคียงกัน เท่ากับ 296 HV
- ปริมาณรูปrun กับระยะพ่นทั้ง 3 มีค่าเฉลี่ยรูปrun เท่ากับ 7.5% ซึ่งมีรูปrun ไม่แตกต่างกัน
- สรุปว่า ระยะพ่นทั้ง 3 ระยะ ไม่มีผลต่อสมบัติเชิงกลด้านความแข็งของผิวเคลือบ

#### กิตติกรรมประกาศ

การจัดทำบริษัทวนิพนธ์ฉบับนี้ได้รับความกรุณาเอื้อเฟื้อจากบริษัทเวนเจอร์ เอ็นจิเนียริ่ง จำกัด และมหาวิทยาลัยเทคโนโลยีพระจอมเกล้าธนบุรี ในการใช้เครื่องมือในการทดสอบ และขอขอบคุณ ผศ. ชานนท์



การประชุมวิชาการนวัตกรรมด้านวิศวกรรมและเทคโนโลยีเพื่อเศรษฐกิจและสังคม ครั้งที่ 3  
 The 3<sup>rd</sup> Conference on Innovation Engineering and Technology for Economy and Society  
 วันที่ 29 มีนาคม 2563 ณ มหาวิทยาลัยเกษตรศาสตร์ วิทยาเขตรัมเกล้า

มูลวรรณ อาจารย์ที่ปรึกษาในการจัดทำปริญญาในพิธี  
 ให้คำแนะนำ ให้คำปรึกษาในการจัดทำโครงงาน ช่วย  
 เสนอแนะแนวทาง แนวคิดและแก้ไขข้อบกพร่องมาโดย  
 ตลอดจนงานวิจัยนี้เสร็จสมบูรณ์

thermally sprayed coating University  
 Velenciennes France

#### เอกสารอ้างอิง

- [1] สิทธิชัย วิโรจนปภัมถ์ และamen ตุ้ยแพร่ เรื่องการ  
 ประยุกต์ใช้ผิวเคลือบที่พ่นด้วยความร้อนสำหรับงาน  
 ซ่อมบำรุงเครื่องสูบของแท่นชุดเจาะน้ำหินหินปูน  
 มหาวิทยาลัยเชียงใหม่
- [2] ทิพบรรณ สุดประเสริฐ และจังรักษ์ จันโอ หน่วย  
 ปฏิบัติการพ่นเคลือบด้วยความร้อน THERMAL  
 SPRAY LABORATORY (TSL)
- [3] ปันดดา เชื้อเพร์ด ห้องปฏิบัติการวิเคราะห์ความ  
 เสียหายของวัสดุและเทคโนโลยีพื้นผิว หน่วยงานวิจัย  
 ด้านประสิทธิผลการใช้งานวัสดุ
- [4] Ihsan Kucukrendeci and S. Hakan Yetgin,  
 Coating Parameters Influences on Mechanical  
 Properties of Coating. Journal of Applied  
 Sciences, 13: 645-649, 2013
- [5] P.Fauchais and A. Vardelle Thermal Sprayed  
 Coatings Used Against Corrosion and Corrosive  
 Wear SPCTS, UMR 7315, University of Limoges,  
 France
- [6] M. F. O. Schiefler Filho, A. J. A. Buschinelli, F.  
 Gärtner, A. Kirsten, J. Voyer and H. Kreys  
 Influence of Process Parameters on the  
 Quality of Thermally Sprayed X46Cr13  
 Stainless Steel Coatings
- [7] Davis, J. R. (Joseph R.) Thermal Spray Society  
 Training Committee SAN: 204-7586
- [8] R.Lakhdari, Y.Mebdoua, M.Legouera, B.Guedouar  
 Influence of different microstructural features  
 on wear and corrosion resistance of 13cr steel  
 arc sprayed coating University Saad Dahlab  
 Blida
- [9] R.Lakhdari, Y.Mebdoua, H.Lahmar, M.Legouera,  
 A.Tricoteaux Wear mechanisms of 13Cr steel